

# Плотность энергии в схлопывающейся электромагнитной волне

И.А.Артюков, А.В.Виноградов, Н.В.Дьячков, Р.М.Фещенко

*Найдено соотношение между энергией и шириной спектра схлопывающейся электромагнитной волны и максимальной плотностью энергии в точке фокусировки. Метод решения может применяться для моделирования распространения ультракоротких импульсов без использования приближения медленно меняющихся амплитуд.*

**Ключевые слова:** схлопывающаяся электромагнитная волна, плотность энергии, ультракороткие импульсы.

## 1. Введение

Наряду с численными методами решения уравнений Максвелла в пустоте [1, 2] для моделирования световых пучков продолжают широко применяться аналитические методы. При этом речь идет либо о приближенных методах (метод медленно меняющихся амплитуд, метод Кирхгофа и др.), либо о точных решениях приближенных уравнений для электромагнитных волн\*. К таким решениям относятся интеграл Френеля и его обобщение [3, 4], гауссовы [5], бесселевы [6], спиральные и другие пучки [7].

В настоящей работе мы рассмотрим класс точных решений уравнений Максвелла и с их помощью исследуем схлопывающиеся электромагнитные пучки. Важное свойство этих решений – конечность полной энергии поля. Из предыдущих работ на эту тему отметим [8, 9] и особенно [10–12].

## 2. Решение уравнений Максвелла в виде бегущих сферических волн

Уравнения Максвелла в пустоте допускают калибровку потенциалов в виде [13]

$$\operatorname{div} \mathbf{A} = 0, \quad \phi = 0 \quad (1)$$

и сводятся в этом случае к волновому уравнению для векторного потенциала  $\mathbf{A}$ , через который выражаются электрическое ( $\mathbf{E}$ ) и магнитное ( $\mathbf{H}$ ) поля:

$$\Delta \mathbf{A} - \frac{1}{c^2} \frac{\partial^2 \mathbf{A}}{\partial t^2} = 0, \quad \mathbf{E} = -\frac{1}{c} \frac{\partial \mathbf{A}}{\partial t}, \quad \mathbf{H} = \operatorname{rot} \mathbf{A}. \quad (2)$$

\* Наиболее известны скалярное волновое уравнение (уравнение Гельмгольца) и параболическое волновое уравнение.

И.А.Артюков, А.В.Виноградов, Р.М.Фещенко. Физический институт им. П.Н.Лебедева РАН, Россия, 119991 Москва, Ленинский просп., 53; e-mail: vinograd@sci.lebedev.ru

Н.В.Дьячков. Физический институт им. П.Н.Лебедева РАН, Россия, 119991 Москва, Ленинский просп., 53; Московский физико-технический институт (государственный университет), Россия, Московская обл., 141701 Долгопрудный, Институтский пер., 9

Поступила в редакцию 29 июня 2018 г., после доработки – 24 сентября 2018 г.

Нетрудно убедиться в том, что уравнению (2) с калибровкой (1) удовлетворяет потенциал вида

$$\mathbf{A} = \mathbf{l} \times \operatorname{grad} u \quad (3)$$

(где  $\mathbf{l}$  – единичный, не зависящий от времени и координат аксиальный вектор) при условии, что функция  $u(\mathbf{r}, t)$  также удовлетворяет волновому уравнению (2). Его сферически симметричное решение  $u(\mathbf{r}, t)$  складывается из двух встречных волн, описываемых произвольными функциями  $f_+$  и  $f_-$ :

$$u = \frac{f_+(r - ct) + f_-(r + ct)}{r}, \quad (4)$$

а решение без особенности в нуле имеет вид [14]

$$u = \frac{f(ct + r) - f(ct - r)}{r}, \quad (5)$$

где  $f(s)$  – также произвольная функция. Если она убывает при больших  $|s|$  достаточно быстро, то электромагнитный импульс (или пучок) обладает конечной энергией.

Используя (2) и векторный потенциал (3), (5), легко получить выражения для полей  $\mathbf{E}$  и  $\mathbf{H}$ :

$$\mathbf{E} = -\frac{1}{c} \frac{\partial \mathbf{A}}{\partial t} = -\frac{1}{c} \frac{\partial^2 u}{\partial t \partial r} \mathbf{l} \times \mathbf{n}, \quad (6)$$

$$\mathbf{H} = \operatorname{rot} \mathbf{A} = \left( \Delta u - \frac{1}{r} \frac{\partial u}{\partial r} \right) \mathbf{l} - \left( r \frac{\partial}{\partial r} \frac{1}{r} \frac{\partial u}{\partial r} \right) (\mathbf{l} \mathbf{n}), \quad (7)$$

где

$$\Delta u = \frac{1}{r^2} \frac{\partial}{\partial r} \left( r^2 \frac{\partial u}{\partial r} \right);$$

$\mathbf{n}$  – единичный вектор вдоль радиуса-вектора  $\mathbf{r}$ . Формулы (5)–(7), содержащие произвольную функцию  $f$ , описывают определенный тип световых пучков с конечной энергией, удовлетворяющих уравнениям Максвелла в пустоте.

## 3. Полная энергия импульса, спектр и плотность энергии

Сначала выразим указанные величины через функцию  $f(s)$ , определяющую поля (6) и (7).

### 3.1. Энергия импульса

Полную энергию  $\mathcal{E}$  импульса (5)–(7) найдем по формуле

$$\mathcal{E} = \lim_{r \rightarrow \infty} \int_0^{\infty} \Phi(r, t) dt, \quad (8)$$

где

$$\Phi(r, t) = r^2 \iint I(r, t) \sin \theta d\theta d\varphi \quad (9a)$$

– поток энергии через сферу радиусом  $r$ ;  $\theta$  и  $\varphi$  – углы в сферической системе координат;

$$I(r, t) = \frac{c}{4\pi} \mathbf{n}[\mathbf{E} \times \mathbf{H}] \quad (9б)$$

– радиальная интенсивность. Подставляя в (9б), а затем в (9a) напряженности полей (6) и (7), определяем сначала поток энергии:

$$\Phi(r, t) = -r^2 \frac{2}{3} \frac{\partial v}{\partial t} \left( \frac{v}{r} + \frac{\partial v}{\partial r} \right), \quad v = \frac{\partial u}{\partial r}, \quad (10)$$

а затем, следуя (8), полную энергию импульса:

$$\mathcal{E} = \frac{2}{3} \int_{-\infty}^{\infty} g^2(s) ds, \quad g(s) = f''(s). \quad (11)$$

### 3.2. Спектр импульса в дальней зоне

Вернемся к формуле (9б) для радиальной интенсивности, направив ось  $z$  вдоль вектора  $\mathbf{l}$ . Подставляя в нее поля  $\mathbf{E}$  и  $\mathbf{H}$  из (5)–(7), получаем

$$I(r, t) = \frac{\sin^2 \theta}{4\pi} \left( \frac{1}{r} \frac{\partial u}{\partial r} - \Delta u \right) \frac{\partial^2 u}{\partial t \partial r}. \quad (12)$$

Интеграл от интенсивности (12) по времени, аналогичный (8), при больших  $r$  дает флюенс (энергия излучения, падающего на единицу площади)

$$F(r) = \lim_{r \rightarrow \infty} \int_0^{\infty} I(r, t) dt. \quad (13)$$

Используя при больших  $r$  приближенные выражения для  $\mathbf{E}$  и  $\mathbf{H}$ , формулу (13) легко упростить, как и выражение (8) для полной энергии. Тогда подобно (11) флюенс (13) принимает вид

$$F(r) \approx \frac{\sin^2 \theta}{4\pi r^2} \int_{-\infty}^{\infty} g^2(s) ds. \quad (14)$$

Полученный результат ожидаем, поскольку в числителе стоит фактически полная энергия импульса  $\mathcal{E}$ . Из (14) легко найти спектральную плотность мощности:

$$F_{\omega}(\mathbf{r}) \approx \frac{\sin^2 \theta}{c^2 r^2} |g(k)|^2, \quad k = \omega/c, \quad (15)$$

$$g(k) = \frac{1}{2\pi} \int_{-\infty}^{\infty} g(s) \exp(iks) ds, \quad F(\mathbf{r}) = \int_0^{\infty} F_{\omega}(\mathbf{r}) d\omega.$$

При этом учтено, что  $g(s)$  – вещественная функция, а  $|g(k)|^2$  – четная. Величину  $F_{\omega}(\mathbf{r})$  естественно отождествить со спектром импульса в дальней зоне.

### 3.3. Плотность энергии

Плотность энергии  $\epsilon$  в центре импульса определим по формуле

$$\epsilon = \frac{\mathbf{E}^2 + \mathbf{H}^2}{8\pi} \Big|_{r=0}. \quad (16)$$

Отсюда, используя общие формулы для полей (5)–(7), находим

$$E(ct) = 0, \quad H(ct) = \frac{4}{3} f'''(ct) \quad \text{и} \quad \epsilon(ct) = \frac{2}{9\pi} [g'(ct)]^2. \quad (17)$$

Из (17) видно, что плотность электромагнитной энергии  $\epsilon(t)$  в начале координат при увеличении времени от  $t = -\infty$  возрастает, а затем уменьшается до нуля.

Подчеркнем, что выражение (17) для плотности энергии  $\epsilon(ct)$  в центре схлопывающегося импульса, как и выражение (11) для полной энергии  $\mathcal{E}$ , справедливы для любой функции  $f(s)$ , определяющей пространственно-временную форму импульса (см. (4)). Доказательство справедливости формул (11) и (17) будет приведено в нашей следующей работе.

## 4. Схлопывание квазимонохроматической волны

Выберем форму импульса (5)–(7), задав вторую производную  $f(s)$  в виде

$$f''(s) = g(s) = C_1 \exp(-s^2/a^2) \sin(qs), \quad (18)$$

где нормировочный коэффициент  $C_1$ , в соответствии с формулой (11) для полной энергии импульса, определяется выражением

$$C_1^2 = 6\mathcal{E} \{a\sqrt{2\pi} [1 - \exp(-q^2 a^2/2)]\}^{-1}; \quad (19)$$

$a$  и  $q$  – параметры, имеющие смысл длины импульса и волнового числа соответственно. Следуя разд.3, рассмотрим спектр и плотность энергии такого импульса в фокусе. Подставляя (18) в (15), находим спектральную функцию флюенса:

$$F_{\omega}(\mathbf{r}) = \frac{\sin^2 \theta}{c^2 r^2} g^2(k) = \frac{a^2 C_1^2 \sin^2 \theta}{16\pi c^2 r^2} \times \left\{ \exp\left[-\frac{(\omega - cq)^2 a^2}{4c^2}\right] - \exp\left[-\frac{(\omega + cq)^2 a^2}{4c^2}\right] \right\}^2. \quad (20)$$

С помощью этой функции легко определить центральную частоту  $\omega_0$  и ширину  $\delta\omega$  спектра излучения. Как и следовало ожидать, в случае квазимонохроматической волны, когда  $aq \gg 1$ , имеем

$$\omega_0 = cq, \quad \delta\omega = cla. \quad (21)$$

Плотность энергии в центре определяется формулой (17), которая показывает, что для импульса (18) максимальное значение  $\epsilon_m$  достигается при  $t = 0$ :

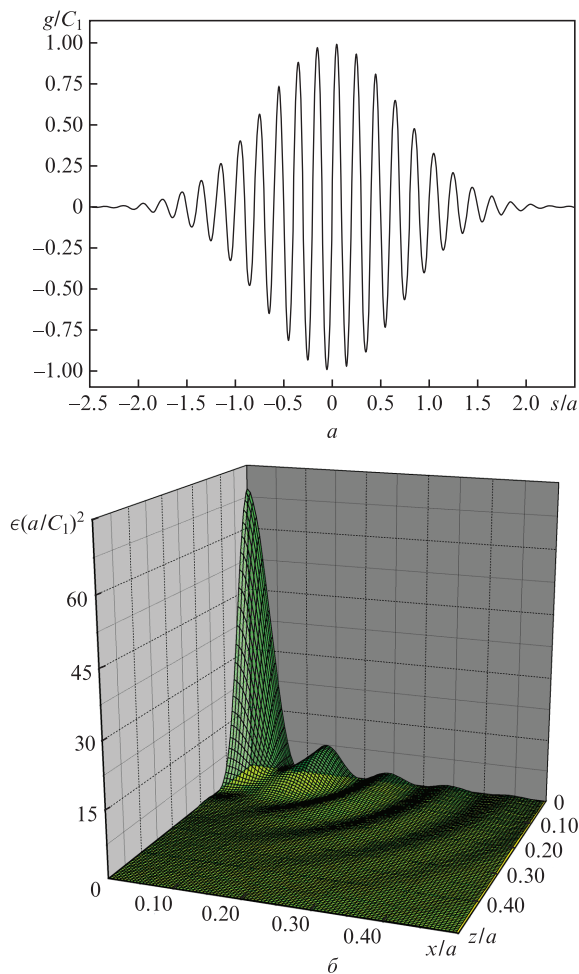


Рис.1. Форма импульса  $g(s)$ , заданная по формуле (18) при  $qa = 10\pi$  ( $a$ ), и распределение плотности энергии  $\epsilon(x, z)$  в окрестности начала координат при  $t = 0$  ( $b$ ).

$$\epsilon_m = \frac{1}{3} \left( \frac{2}{\pi} \right)^{3/2} \frac{\mathcal{E} q^2}{a [1 - \exp(-q^2 a^2 / 2)]}. \quad (22)$$

В случае квазимонохроматического импульса, когда  $aq \gg 1$  и справедливо выражение (21), из формулы (22) следует ожидаемая (с точностью до множителя) зависимость плотности энергии в центре от полной энергии импульса, длины волны и ширины спектра:

$$\epsilon_m = \frac{8}{3} (2\pi)^{3/2} \frac{\mathcal{E}}{\lambda_0^3} \frac{\delta\omega}{\omega_0}, \quad \lambda_0 = \frac{2\pi c}{\omega_0}, \quad aq = \frac{\omega_0}{\delta\omega} \gg 1. \quad (23)$$

Двумерное распределение плотности энергии  $\epsilon(\mathbf{r})$  в момент схлопывания импульса, показанного на рис.1, $a$ , приведено на рис.1, $b$ .

## 5. Обсуждение

С помощью модельного импульса, являющегося точным решением уравнений для электромагнитного поля, исследовано решение, представляющее собой схлопывающуюся и вновь разлетающуюся оболочку, внутри которой содержатся быстрые осцилляции поля. Получено соотношение между плотностью энергии  $\epsilon_m$  в точке фокусировки и полной энергией импульса  $\mathcal{E}$ , длиной волны  $\lambda_0$  и шириной спектра  $\delta\omega$ . Вопрос об общности результата (22), (23) остается открытым, пока не исследованы иные более реалистичные точные решения уравнений для поля с конечной энергией. Они, в частности, могут быть построены путем сдвига поля (5) в комплексную плоскость по одной из координат [9, 11].

Несмотря на очевидные трудности реализации пространственно-временной структуры поля (5)–(7) с высокой симметрией, по-видимому, представляет интерес детальное сравнение соотношения (23) с плотностью энергии, достигаемой на существующих и проектируемых лазерных установках, обеспечивающих релятивистскую интенсивность.

Авторы благодарны О.Н.Крохину и А.М.Федотову, чьи выступления на семинарах и статьи стимулировали настоящую работу. Выражаем также благодарность С.Г.Бочкареву, замечания которого учтены в окончательной редакции статьи.

Работа поддержана Базовым финансированием в рамках темы № 0023-0002-2018, а также Программой научных исследований президиума РАН «Актуальные проблемы фотоники, зондирование неоднородных сред и материалов» (ПП РАН № 7).

1. Jin J.M. *Theory and Computation of Electromagnetic Fields* (Hoboken, New Jersey: John Wiley & Sons, Inc., 2015).
2. Pryor R.W. *Multiphysics Modeling Using COMSOL: a First Principle Approach* (Sudbury: Jones & Bartlett Publishers, 2009).
3. Kelly D.P. *J. Opt. Soc. Am. A*, **31** (4), 755 (2014).
4. Artyukov I.A., Feshchenko R.M., Popov N.L., Vinogradov A.V. *J. Opt.*, **16**, 035703 (2014). Doi:10.1088/2040-8978/16/3/035703.
5. Быков В.П., Силичев О.О. *Лазерные резонаторы* (М.: Физматлит, 2004).
6. Пятницкий Л.Н., *Волновые бесселевы пучки* (М.: Физматлит, 2012).
7. Абрамочкин Е.Г., Волостников В.Г. *Современная оптика гауссовых пучков* (М.: Физматлит, 2010).
8. Ziolkowski R.W., Besieris I.M., Shaarawi A.M. *Proc. IEEE*, **79** (10), 1371 (1991).
9. Lekner J. *J. Opt. A: Pure and Appl. Opt.*, **3** (5), 407 (2001).
10. Narozhny N.B., Fofanov M.S. *Phys. Lett. A*, **295** (2-3), 87 (2002).
11. Fedotov A.M., Korolev K.Y., Legkov M.V. arXiv:0705.2775v1.
12. April A., in *Coherence and Ultrashort Pulse Laser Emission* (New York, NY: InTech, 2010, pp 355–382).
13. Ландау Л.Д., Лифшиц Е.М. *Теоретическая физика. Том II. Теория поля* (М.: Физматлит, 2012).
14. Тихонов А.Н., Самарский А.А. *Уравнения математической физики* (М.: Наука, 2004).